

電子光科学 II

次の [II-1] から [II-8] までの 8 間についてそれぞれ別の答案用紙に答えよ。なお、各問題に 2 枚以上の答案用紙を用いる場合は、「[II-1] (2 枚目)」などのように明記せよ。

[II-1]

図 1 の RL 回路において、独立電圧源 $e(t)$ (t は時刻) から図 2 および図 3 に示すような電圧を印加した場合を考える。図 2 および図 3 のそれぞれの場合において、 R および L に流れる電流 $i(t)$ ($t > 0$) を求めよ。なお、図 2 において $t < 0$ では $e(t) = 0$ 、 $t > 0$ では $e(t) = E$ 、図 3 において $t < 0$ および $t > 3T$ では $e(t) = 0$ である。

(配点 20 点)

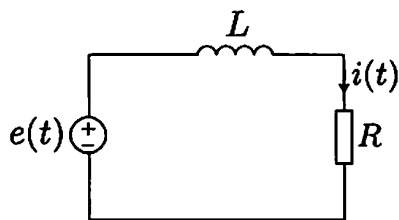


図 1

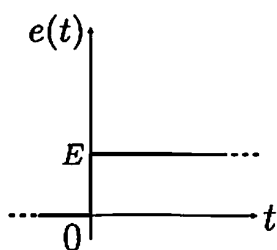


図 2

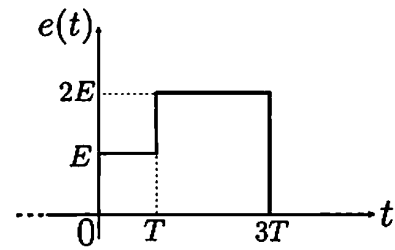


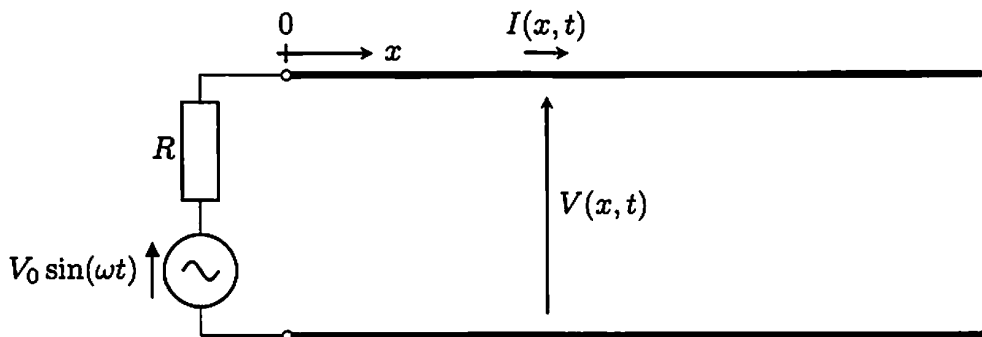
図 3

[II-2]

図のように半無限長の無損失伝送線路に抵抗 $R (> 0)$ と電源が接続されている。伝送線路の始点を $x = 0$ とし、そこから線路方向に x 軸を定める。時刻を t 、角周波数を $\omega (> 0)$ とし、電源電圧は $V_0 \sin(\omega t)$ のように時間変化している ($V_0 > 0$ とする)。伝送線路の特性インピーダンスを $Z_0 (> 0)$ とし、線路内での波長を $\lambda (> 0)$ とする。以下の間に答えよ。

(配点 20 点)

- (1) 図に示される伝送線路中の位置 x 、時刻 t における電圧 $V(x, t)$ 、および、電流 $I(x, t)$ を求めよ。ただし、電流は $x > 0$ を正方向にとる。また、線路は半無限長のため $x > 0$ では波が反射されて戻ることはない。
- (2) $x = 0$ において伝送線路に流れ込む平均電力 P を求めよ。
- (3) P が最大となる Z_0 とそのときの P を導出せよ。

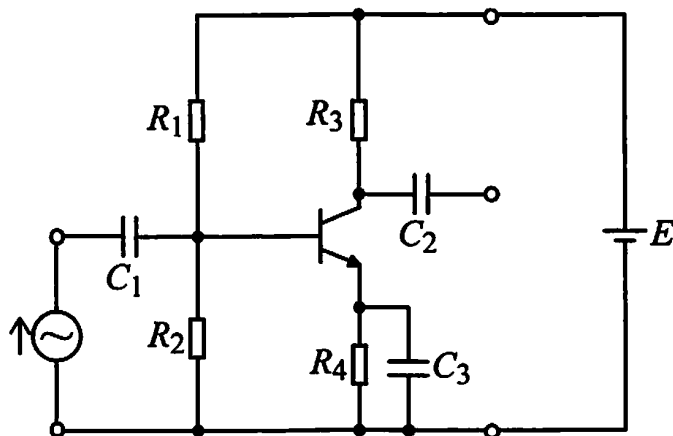


[II-3]

図に示すバイポーラトランジスタ、抵抗、キャパシタ、直流電圧源、角周波数 ω の交流電圧源からなる A 級電力增幅回路を考える。角周波数 ω におけるキャパシタ C_1, C_2, C_3 のインピーダンスは十分に小さく、ベース電流および抵抗 R_1 と抵抗 R_2 に流れる電流はコレクタ電流 I_C と比べて十分に小さいとして良い。以下の間に答えよ。

(配点 20 点)

- (1) 図のエミッターコレクタ間の直流電圧 V_{CE} を抵抗 R_1, R_2, R_3, R_4 、直流電圧 E とコレクタ電流 I_C のうち必要なものを用いて表せ。
- (2) $V_{CE} = E/2$ のとき、直流電圧源から供給される電力 P_{DC} を抵抗 R_1, R_2, R_3, R_4 、直流電圧 E のうち必要なものを用いて表せ。
- (3) 問(2)の条件を満たし、トランジスタのエミッターコレクタ間の電圧が 0 から E の範囲において能動領域として動作するとみなせる場合を考える。その時の最大電力効率 η_{max} を求めよ。ただし、抵抗 R_3 で消費される交流平均電力を p_{AC} として、電力効率を $\eta = p_{AC}/P_{DC}$ と定義する。



[II-4]

図1に示すD-フリップフロップからなる回路について考える。以下の間に答えよ。なお、解答には、[II-4]と書かれた入試解答用紙を用いよ。

(配点15点)

- (1) この回路に図2に示すようなクロック信号を与えたときの出力 Q_1, Q_2, Q_3 の時間変化を、図2にならって入試解答用紙に各々書き表せ。ただし、出力 Q_1, Q_2, Q_3 の初期値は全てLレベルであるとする。
- (2) 問(1)のとき、回路の異なる出力の組み合わせは何通りあるか。
- (3) D-フリップフロップの最大動作周波数は100MHz、クロック信号に対する出力 Q, \bar{Q} のホールド時間、セットアップ時間、伝搬遅延時間はそれぞれ1ns, 3ns, 10nsであるとする。図1の回路が正しく動作するための最大動作周波数を有効数字2桁で求めよ。

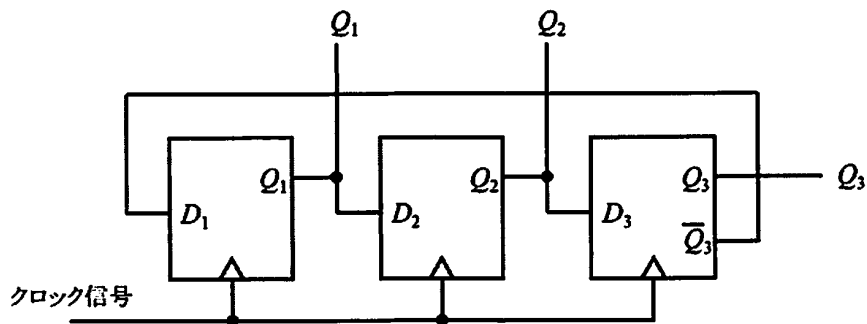


図1



図2

[II-5]

同じ半導体からなる p-n 接合に関する以下の間に答えよ。ただし、p 形半導体と n 形半導体には、それぞれ、密度が N_A と N_D のアクセプターとドナーが一様にドーピングされており、それらはすべてイオン化しており、バンド間の電子の熱励起は無視できるとする。また、接合界面は平面的でその面積は十分に大きく、界面準位は無視できるとする。

(配点 30 点)

図1は p 形半導体と n 形半導体が孤立して存在している時のエネルギー・バンド図である。ここで、 E_F はフェルミ準位であり、 ϕ_p と ϕ_n は、それぞれ、p 形半導体と n 形半導体の仕事関数である。また、 E_C 、 E_V 、 χ は、それぞれ、伝導帶下端のエネルギー、価電子帯上端のエネルギー、電子親和力である。図2は、図1に示された p 形半導体と n 形半導体を接触させ、熱平衡状態になったときのエネルギー・バンド図である。ただし、 q は電気素量である。

- (1) 図2に示されている qV_D を図1の中の記号を用いて表せ。
- (2) V_D の名称を述べよ。

図2に示されるように x 軸をとり、接合界面を原点とする。 x_p と x_n は、それぞれ、p 形半導体と n 形半導体の空乏層幅である。

- (3) $-x_p < x < 0$ と $0 < x < x_n$ の領域において、電位 $\Phi(x)$ が満たすべきポアソン方程式を、それぞれ書け。ただし、この半導体の誘電率を ϵ とする。
- (4) 問(3)のポアソン方程式から x_p と x_n をそれぞれ求め、全空乏層幅 $W \equiv x_p + x_n$ が

$$W = \sqrt{\frac{2\epsilon N_A + N_D}{q N_A N_D} V_D}$$

となることを示せ。

- (5) この p-n 接合に直流の逆方向バイアス電圧 $-V$ ($V > 0$) を印加した場合の単位面積あたりの静電容量 $C(V)$ を求めよ。ただし、 $N_D \gg N_A$ とする。
- (6) 問(5)の $C(V)$ は実測することができる。 ϵ が既知のとき、 V_D と N_A を実験から求める方法を述べよ。

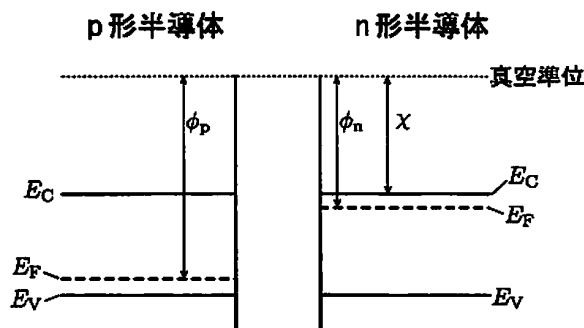


図 1

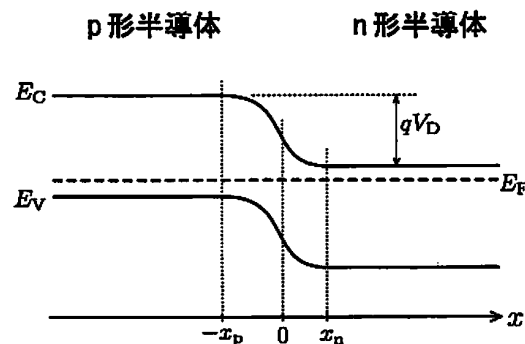


図 2

[II-6]

単結晶によるX線の弾性散乱を考える。図1のように、結晶は基本ベクトル \vec{x} , \vec{y} , \vec{z} の単純立方格子からなり、 \vec{x} 方向に N_1a , \vec{y} 方向に N_2a , \vec{z} 方向に N_3a （ただし、 N_1 , N_2 , N_3 は正の整数で、 a は各基本ベクトルの大きさ）の大きさをもつ。また、結晶内における単位格子の位置ベクトル \vec{r} を、 $\vec{r} = n_1\vec{x} + n_2\vec{y} + n_3\vec{z}$ （ただし、 n_1 , n_2 , n_3 は0以上の整数）とする。X線の波数ベクトルの大きさは波長の逆数で定義されるとして、以下の間に答えよ。

(配点15点)

- (1) 下記の文中の□内を、(ア)から(オ)および(ケ)は数式で、(カ)から(ク)は語句で埋めよ。

X線の散乱ベクトル \vec{K} は、入射波の波数ベクトル \vec{k} と散乱波の波数ベクトル \vec{k}' を用いると、(ア)である。結晶全体からの散乱振幅は、構造因子を $F(\vec{K})$ として、 \vec{K} , \vec{r} を用いると、 $F(\vec{K}) \sum \text{(イ)}$ と表される。ここで、 $\sum \text{(イ)}$ は結晶内の \vec{r} に関する総和であり、 N_1 , N_2 , N_3 を用いると、 n_1 については0から(ウ), n_2 については0から(エ), n_3 については0から(オ)までの総和となる。 $\sum \text{(イ)}$ の絶対値の二乗をラウエ関数と呼び、結晶全体からの散乱強度はこれに比例する。このラウエ関数を三角関数で表すと次式となる。

$$\frac{\sin^2(\pi N_1 \vec{K} \cdot \vec{x})}{\sin^2(\pi \vec{K} \cdot \vec{x})} \cdot \frac{\sin^2(\pi N_2 \vec{K} \cdot \vec{y})}{\sin^2(\pi \vec{K} \cdot \vec{y})} \cdot \frac{\sin^2(\pi N_3 \vec{K} \cdot \vec{z})}{\sin^2(\pi \vec{K} \cdot \vec{z})}$$

図2は $\vec{K} \cdot \vec{x}$ に対する $\frac{\sin^2(\pi N_1 \vec{K} \cdot \vec{x})}{\sin^2(\pi \vec{K} \cdot \vec{x})}$ のグラフの概略図であり、 $\vec{K} \cdot \vec{x}$ の値が(カ)になるとき、主極大をもつ。この条件は「散乱ベクトルが結晶の(キ)に一致したときに回折が起こる」とする(ク)と呼ばれている。また、主極大のピーク値は、 N_1 を用いると、(ケ)で与えられ、そのプロファイルの半値幅はおよそ N_1 に反比例するので、散乱強度分布は N_1 の値に依存して広がりをもつ。

- (2) 大きさと形状が、 $N_1 = N_2 = N_3 = N_0$ で与えられる結晶1と、 $N_1 \ll N_0$, $N_2 = N_3 \gg N_0$ で与えられる結晶2における回折現象を考える。問(1)の文を参考にして、結晶2の、 \vec{x} , \vec{y} , \vec{z} 方向の回折強度分布におけるピーク値の大きさとプロファイルの広がりを結晶1のそれらと比較し、100字程度で記せ。

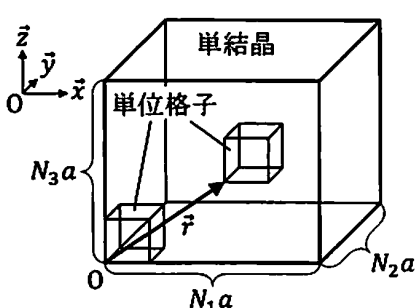


図1

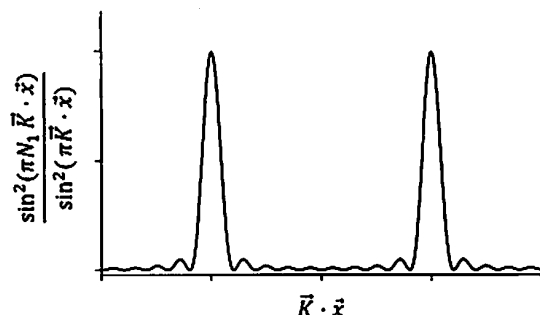


図2

[II-7]

エネルギー固有値が E_a, E_b ($E_a > E_b > 0$) である 2 つのエネルギー固有状態 a, b をもつ粒子が存在する。簡単な場合として、この粒子 1 つが温度 T でカノニカル分布に従うとした時の 2 準位系について考える。以下の間に答えよ。ただし、系がエネルギー固有状態 a と b をとる確率をそれぞれ p_a と p_b とし、 k_B をボルツマン定数とする。なお、解答には、[II-7]と書かれた入試解答用紙を用いよ。

(配点 15 点)

(1) この系の分配関数を求めよ。

(2) p_a を求めよ。(3) 横軸を $(k_B T)^{-1}$ 、縦軸を p_a および p_b とするグラフの概略をそれぞれ実線および点線で図示せよ。また、縦軸には p_a および p_b と縦軸との交点の値も書き入れること。

(4) 下記の文章が正しくなるように、(ア), (イ), (ウ)において、下の選択肢の中から最も適切なものをそれぞれ選べ。

問(3)のグラフから、系は十分低温では、なるべく (ア) エネルギーの固有状態をとろうとすることがわかる。また、十分高温では、(イ) となり、これは (ウ) により、系がランダムにエネルギー固有状態 a, b をとっていると理解できる。一般に、同様の傾向は粒子数が多いマクロな系でもみられる。

(ア) の選択肢：低い・高い・系を不安定にする

(イ) の選択肢： $p_a \gg p_b$ ・ $p_a = p_b$ ・ $p_a \ll p_b$

(ウ) の選択肢：不可弁別性・熱搖らぎ・縮退

(5) この系のエネルギー期待値を求めよ。

[II-8]

ある温度 T において常磁性絶縁体に外部磁場 H を印加した際の磁化 M が、 $M = Ng\mu_B J B_J(x)$ 、 $x = \frac{g\mu_B J H}{k_B T}$ と表記されたとする。ここで、 $B_J(x)$ はブリュアン関数であり、次式で表される。

$$B_J(x) = \frac{2J+1}{2J} \coth\left(\frac{2J+1}{2J}x\right) - \frac{1}{2J} \coth\left(\frac{1}{2J}x\right)$$

ただし、 N は単位体積あたりの原子磁気モーメント数、 g は g 因子、 μ_B はボーア磁子、 k_B はボルツマン定数、 J は全角運動量の量子数である。また、 $\alpha \ll 1$ において $\coth \alpha \approx \frac{1}{\alpha} + \frac{\alpha}{3}$ 、および $\alpha \rightarrow \infty$ において $\coth \alpha \approx 1$ という近似が成立する。以下の間に答えよ。なお、解答には[II-8]と書かれた入試解答用紙を用いよ。

(配点 15 点)

(1) 高温・低磁場下において、キュリー定数を求めよ。ただし、導出過程も示すこと。

(2) 低温・強磁場下における磁化 M_S を求めよ。

(3) 低温における磁化 M と外部磁場 H の関係を表すグラフの概略を図示せよ。ただし、問(2)で求めた M_S をグラフ中に明示すること。